ДИФРАКЦИЯ И РАССЕЯНИЕ ИОНИЗИРУЮШИХ ИЗЛУЧЕНИЙ

УЛК 538.911

ИССЛЕДОВАНИЕ РОСТОВЫХ ДЕФЕКТОВ В КУБИЧЕСКИХ МОНОКРИСТАЛЛАХ СИНТЕТИЧЕСКОГО АЛМАЗА МЕТОДОМ РЕНТГЕНОВСКОЙ ТОПО-ТОМОГРАФИИ

© 2023 г. Н. П. Анисимов^{1,2,*}, Д. А. Золотов¹, А. В. Бузмаков¹, И. Г. Дьячкова¹, В. Е. Асадчиков¹

¹Институт кристаллографии им. А.В. Шубникова ФНИЦ "Кристаллография и фотоника" РАН, Москва, Россия ²Московский государственный университет им. М.В. Ломоносова, Москва, Россия

*E-mail: anisimov.np17@physics.msu.ru

Поступила в редакцию 24.12.2022 г. После доработки 09.03.2023 г. Принята к публикации 10.03.2023 г.

Представлены результаты исследования пространственного распределения линейных дефектов в монокристаллах синтетических алмазов кубооктаэдрического габитуса, выращенных в лабораторных условиях методом НРНТ вблизи линии равновесия алмаз—графит. Впервые для исследования синтетических алмазов данного типа использовался метод рентгеновской топо-томографии, реализованный на лабораторном источнике рентгеновского излучения.

DOI: 10.31857/S0023476123600192, EDN: JPDLWB

ВВЕДЕНИЕ

Синтетический алмаз является перспективным полупроводниковым материалом для создания мощных, высокочастотных, радиационностойких электронных устройств [1]. В этой связи актуальной является задача выращивания высококачественных монокристаллов синтетических алмазов. В последнее время был достигнут существенный прогресс в выращивании достаточно крупных монокристаллических образцов массой до 150 карат [2] в области термодинамической стабильности алмаза с помощью метода НРНТ (High Pressure and High Temperature). Однако остаются недостаточно изученными синтетические алмазы, выращенные вблизи линии равновесия алмаз-графит при относительно низких значениях температуры и давления (~1250°C, ~6 ГПа). Получаемые таким образом монокристаллы представляют особый интерес, так как характеризуются ярко выраженными атомно-гладкими кубическими гранями и благодаря этому могут быть использованы в качестве подложек как в полупроводниковой технике, так и для выращивания синтетических алмазов методом CVD (Chemical Vapor Deposition) [2].

Развитие ростовых технологий требует совершенствования методов неразрушающего контроля качества выращиваемых кристаллов. Известно, что присутствие в алмазе дислокаций может существенным образом влиять на его полупроводниковые свойства, например приводить к возникновению токов утечки, что снижает пороговую чувствительность приборов на его основе [3]. Поэтому важной и актуальной является задача исследования реальной структуры выращиваемых монокристаллов синтетического алмаза.

Рентгеновская дифракционная топография — широко применяемый неразрушающий метод исследования реальной структуры кристаллов и изделий из них. Важно отметить, что данный метод обеспечивает возможность изучения больших по толщине (~10 мм) и площади (~10² мм²) кристаллических образцов. Кроме того, метод рентгеновской топографии позволяет выявлять и исследовать такие дефекты, как границы блоков, единичные дислокации, включения, дефекты упаковки, неоднородности распределения примеси [4]. С этим связано его широкое применение как в исследовательских работах, так и в прикладных задачах [5, 6].

Монокристаллы синтетических алмазов изучаются с помощью метода рентгеновской топографии с середины XX века. Анализ рентгеновских топограмм позволяет оценивать протяженность и глубину залегания линейных дефектов, а также определять их кристаллографическую ориентацию [7, 8]. Однако рентгеновская топография обладает существенным недостатком — она позволяет получать лишь двумерные проекции распределения дефектов в объеме кристалла.

Для изучения трехмерной картины распределения дефектов в последнее время широко при-

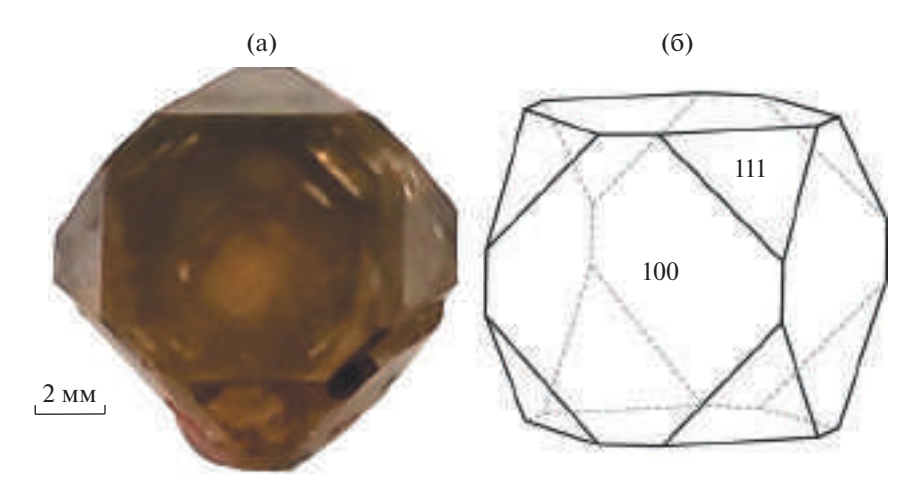


Рис. 1. Фотография образца массой 4.69 карата (а). Наиболее крупная грань на снимке — кубическая грань типа {100}. Кубооктаэдрический габитус изучаемых кристаллов алмаза (б).

меняют метод рентгеновской топо-томографии [9]. Основная его методическая особенность состоит в следующем. Кристаллический образен выводится в отражающее положение, соответствующее выбранной системе кристаллографических плоскостей, как это обычно делается при топографических измерениях. Эта система плоскостей характеризуется вектором дифракции h. Далее образец начинают вращать, причем ось вращения выбирают таким образом, чтобы она была параллельна вектору **h**. В каждом очередном угловом положении образца регистрируется рентгеновская топограмма. Применение к полученному набору топограмм алгоритмов реконструкции, аналогичных тем, которые используются в рентгеновской абсорбционной микротомографии, позволяет восстановить трехмерную картину распределения дефектов в кристаллическом образце [10].

Первоначально метод рентгеновской топо-томографии был реализован на синхротронном источнике излучения [9], однако в дальнейшем было показано, что он может быть успешно адаптирован и для работы на лабораторной установке. Так, в [11] впервые на примере синтетического кристалла LiF была проведена 3D-реконструкция скоплений дефектов различного типа в объеме с пространственным разрешением ~10 мкм. В [10] одиночные дислокационные полупетли в кристалле кремния были исследованы на лабораторном томографе методом топо-томографии.

Основная цель данной работы — изучение ростовых дефектов в кубических монокристаллах синтетического алмаза, выращенных при низких температурах. Исследование проводили с помощью метода рентгеновской топо-томографии на лабораторной установке.

ОБЪЕКТЫ И МЕТОДЫ ИССЛЕДОВАНИЯ

В качестве объекта исследования были выбраны монокристаллы синтетического алмаза типа Ib. Алмазы данного типа характеризуются тем, что содержат примесь азота в виде одиночных атомов замещения. Именно наличием примеси азота обусловлен характерный желтый цвет кристаллов. Образцы выращены методом НРНТ в области термодинамической стабильности алмаза при температуре 1250°С и давлении 6 ГПа.

Были исследованы три образца массой 2.48, 3.09 и 4.69 карата, обозначенные буквами А, В и С соответственно. Данные монокристаллы характеризовались кубооктаэдрической морфологией с явно выраженными кубическими гранями {100} площадью ~50 мм². Толщина образцов составляла не более 5 мм. На рис. 1а приведена фотография образца массой 4.69 карата. На рис. 16 изображен габитус монокристалла алмаза данного типа с указанием кристаллографических плоскостей.

Для исследования ростовых дефектов использовали метод рентгеновской топо-томографии, реализованный на дифрактометре "ДИТОМ-М" [12]. Схема установки представлена на рис. 2.

В качестве источника излучения использовали рентгеновскую трубку с молибденовым анодом (характеристическое $\text{Мо}K_{\alpha 1}$ -излучение, $\lambda = 0.709\,\text{Å}$) и размером фокуса 0.4×12 мм. Для выделения монохроматической $K_{\alpha 1}$ -линии из спектра трубки использовали асимметрично срезанный кристалл-монохроматор, вырезанный из монокристалла Si, отражение (111). Использование асимметрично срезанного кристалла-монохроматора с коэффициентом асимметрии $\beta \sim 10$ позволило добиться существенного уширения первоначального пучка для полного зондирования образца. Непосредственно перед образцом устанавливали два взаимно перпендикулярных, регулируемых

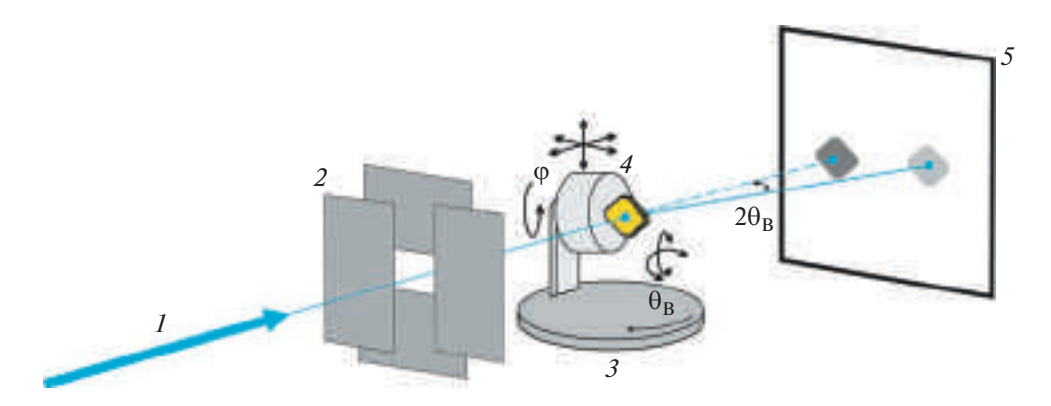


Рис. 2. Схема экспериментальной установки: 1 — монохроматизированный пучок рентгеновского излучения, 2 — пара взаимно перпендикулярных щелей, 3 — осевой гониометр, 4 — гониометрическая головка с исследуемым кристаллом, 5 — двумерный детектор на основе ПЗС-матрицы.

щелевых коллиматора (максимальный размер окна 10×10 мм) (рис. 2).

Для проведения топо-томографических измерений монокристаллов алмаза выбрали систему кристаллографических плоскостей {111}. Исследуемые образцы устанавливали на гониометрическую головку (рис. 2, 4). Юстировку проводили таким образом, чтобы ось вращения гониометра была параллельна выбранному вектору дифракции h[111]. Гониометр позволял устанавливать угол между образцом и падающим пучком, равный углу Брэгга, отсчитываемому в плоскости, перпендикулярной плоскости детектора. В данном случае величина угла Брэгга для выбранной системы плоскостей составила $\theta_{\rm B} = 9.916^{\circ}$. Для точной юстировки кристалла-образца были предусмотрены четыре степени свободы (в определенных пределах) держателя образца относительно оси вращения гониометрической головки: горизонтальный и вертикальный наклоны, а также линейные перемещения в трех взаимно перпендикулярных направлениях (обозначены на рисунке стрелками). Угловое перемещение гониометра осуществляли с помощью шагового двигателя, управляемого с компьютера. Для получения изображения объемной структуры исследуемых алмазов образцы в процессе эксперимента вращали в диапазоне углов от 0° до 360° с шагом $\phi =$ = 2°. Контроль интегральной интенсивности дифрагированного пучка осуществляли с помощью сцинтилляционного детектора SCSD-4 с диаметром входного окна 24 мм. Для регистрации рентгеновских топограмм (дифракционных проекций) использовали ПЗС-детектор Ximea XiRay11 размером 4032 × 2688 пикселей (размер пикселя 9 × 9 мкм). Геометрия эксперимента следующая: расстояние монохроматор-образец - 1000 мм, расстояние источник-монохроматор - 120 мм, расстояние образец-детектор – 15 мм.

Рентгеновские топо-томографические измерения проводили в геометрии дифракции Лауэ методом Ланга [13], в котором контраст наблюдаемых дефектов формируется при слабом поглошении падающего излучения. Алмаз — слабо поглощающий материал, так как он состоит из углерода, относительно легкого элемента. Табличное значение линейного коэффициента поглощения алмаза μ на длине волны Мо $K_{\alpha 1}$ -излучения составляет величину $\sim 0.167 \text{ мм}^{-1}$. Толщина образцов алмаза t вдоль направления распространения рентгеновских лучей не превышала 5 мм. Таким образом, выполнено условие ut < 1, которое является существенным для проведения топо-томографических измерений в геометрии Лауэ, так как показывает, что поглощение излучения в образце пренебрежимо мало.

Для уменьшения теплового шума ПЗС-детектора использовали охлаждающий элемент Пельтье. Кроме того, вклад теплового шума минимизировали на этапе предобработки полученных данных путем вычитания теневого тока детектора из топограмм.

Время экспозиции для получения одной топограммы составляло 5 мин. В ходе проведения тестовых экспериментов установлено, что такое время экспозиции является оптимальным и позволяет получать снимки достаточно хорошего качества за разумное время проведения эксперимента. На рис. З приведены фрагменты одной и той же топограммы для разных времен экспозиции.

Видно, что при увеличении экспозиции с 1 до 5 мин изображение сглаживается, дислокации становятся более контрастными. Увеличение экспозиции до 10 мин не приводит к ощутимому улучшению качества изображения.

Методом рентгеновской флуоресценции провели анализ элементного состава включений в образцах. Спектры флуоресценции измеряли на

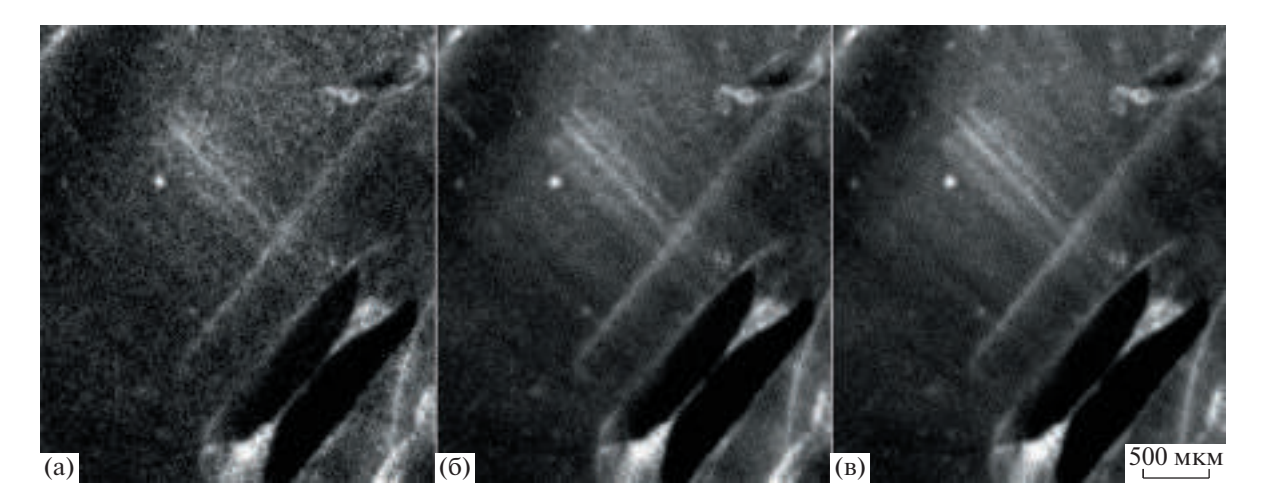


Рис. 3. Фрагмент топограммы образца A для разных времен экспозиции: a-1, b-5, b-10 мин.

дифрактометре "ДИТОМ-М" с использованием энергодисперсионного детектора X-123SDD (Amptek, США), расположенного под углом 90° по отношению к падающему пучку. В качестве источника излучения использовали рентгеновскую трубку с молибденовым анодом (характеристическое Мо $K_{\alpha 1}$ -излучение, E = 17.479 кэВ). Для выделения монохроматической $K_{lpha 1}$ -линии из спектра трубки использовали кристалл-монохроматор Si (111). Размер освещаемого участка образпов составлял ~1 мм по горизонтали и ~4 мм по вертикали. Полученные спектры флуоресценции покрывали диапазон энергии от 1 до 17.479 кэВ (Мо $K_{\alpha 1}$ -линия) с разрешением ~ 150 эВ. Время съемки каждого спектра составило 600 с.

РЕЗУЛЬТАТЫ И ИХ ОБСУЖДЕНИЕ

В ходе проведения серии экспериментов получили наборы топограмм для каждого из образцов. В качестве примера на рис. 4 приведены топограммы для образца А. Стрелки на рисунке указывают на ростовые дефекты.

Светлые участки на топограммах — металлические включения, захваченные в процессе роста НРНТ-алмазов. Их появление обусловлено использованием металла в качестве среды-растворителя для углерода [14]. Можно наблюдать сильный дифракционный контраст в области вокруг этих включений, обусловленный локальными напряжениями решетки. Сами включения представляют собой другую кристаллическую фазу, поэтому не попадают в отражающее положение, формируя на топограммах характерные светлые пятна.

Рентгенофлуоресцентный анализ показал, что данные включения содержат такие металлы, как: Fe, Ni, Mn.

Также на топограммах хорошо видны пучки дислокаций. Анализ конфигурации ростовых дефектов позволяет определить место начала роста кристалла алмаза.

Для реконструкции 3D-структуры образцов по полученному набору топографических снимков использовали численный алгоритм SIRT (Simultaneous Iterative Reconstruction Technique). Он широко применяется в абсорбционной томографии и характеризуется высокой устойчивостью к шумам и выбросам [15]. Для применения этого алгоритма в топо-томографии необходимо описать систему алгебраических уравнений в геометрии, в которой рентгеновский пучок можно считать нерасходящимся, а ось вращения объекта наклонена к нему под углом Брэгга. Эта система уравнений описывает связь между искомой реконструкцией объекта и известным набором проекций. Реализация метода предполагает решение данной системы уравнений чаще всего с помощью итерационных методов. В данном случае для численного решения использовали набор библиотек ASTRA Tomography Toolbox [16, 17], который позволил описать геометрию проведенного эксперимента.

Отметим, что на топограммах присутствуют сильно засвеченные области, локализованные вокруг металлических включений, которые вносили сильные искажения в процесс реконструкции. Порожденные этими выбросами артефакты реконструкции сильно затрудняли анализ 3D-структуры. Эту проблему удалось решить путем логарифмирования топограмм. Процедура логарифмирования предполагает яркостное преобразование значения каждого пикселя по правилу

$$s = \lg(1+r),\tag{1}$$

где r — начальное значение пикселя, s — его конечное значение. Данное преобразование расширяет динамический диапазон значений темных

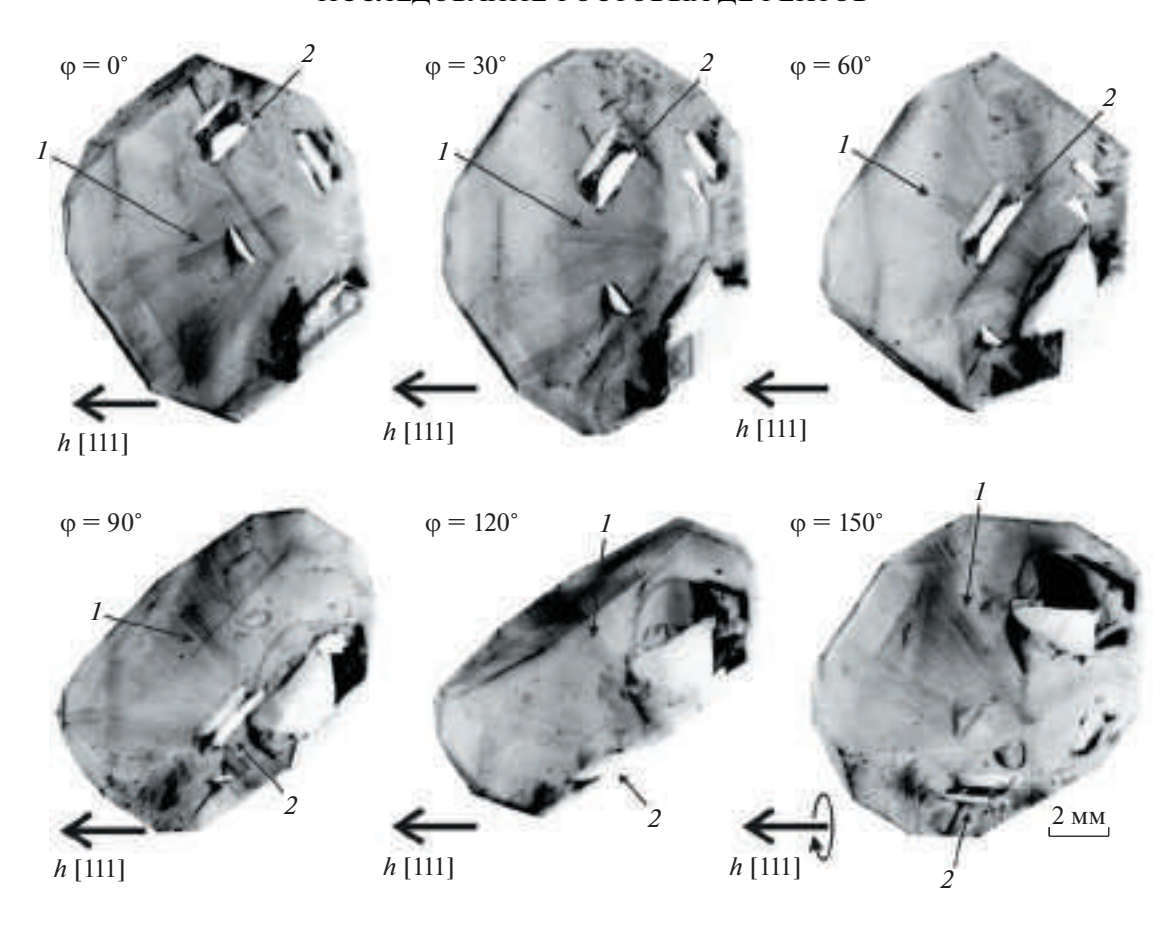


Рис. 4. Рентгеновские топограммы для образца A с угловым шагом 30° . Стрелки внизу рисунка показывают направление вектора дифракции \mathbf{h} [111], вокруг которого образец вращается на угол ϕ ; I — пучок ростовых дислокаций, 2 — металлическое включение.

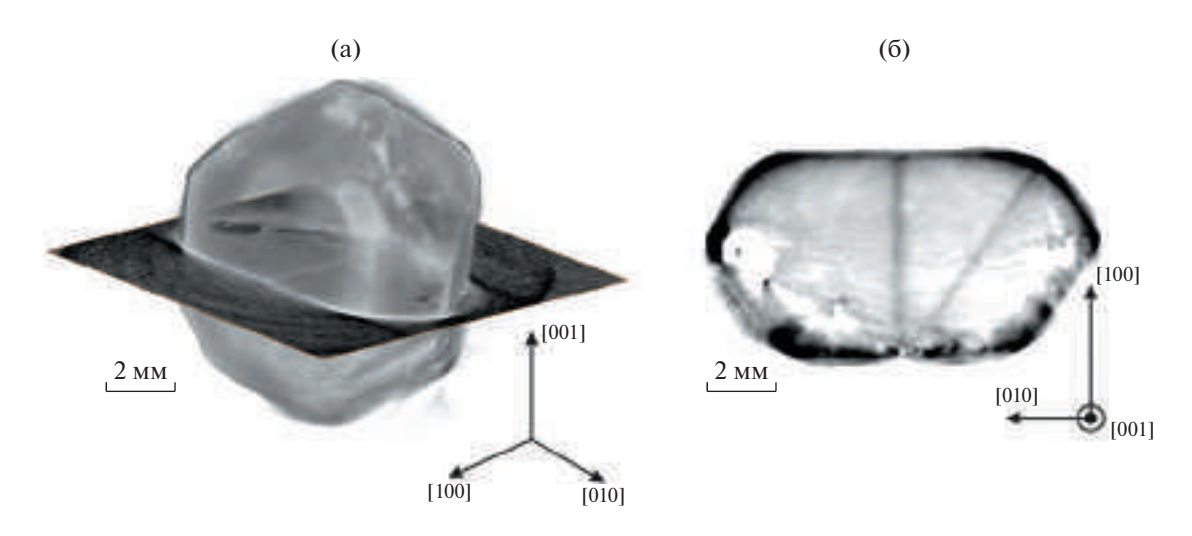


Рис. 5. Объемная реконструкция образца C (a). Показано расположение в объеме слоя, параллельного плоскости кристалла $\{001\}$. Указанный слой в реконструкции образца C (б).

пикселей, одновременно сжимая диапазон значений ярких пикселей. Это позволяет добиться выравнивания контраста на изображении, содержащем сильные выбросы [18].

На рис. 5 приведен результат реконструкции образца С. Плоскость сечения {001}. Наличие трехмерных реконструкций для каждого образца позволило оценить размеры металлических

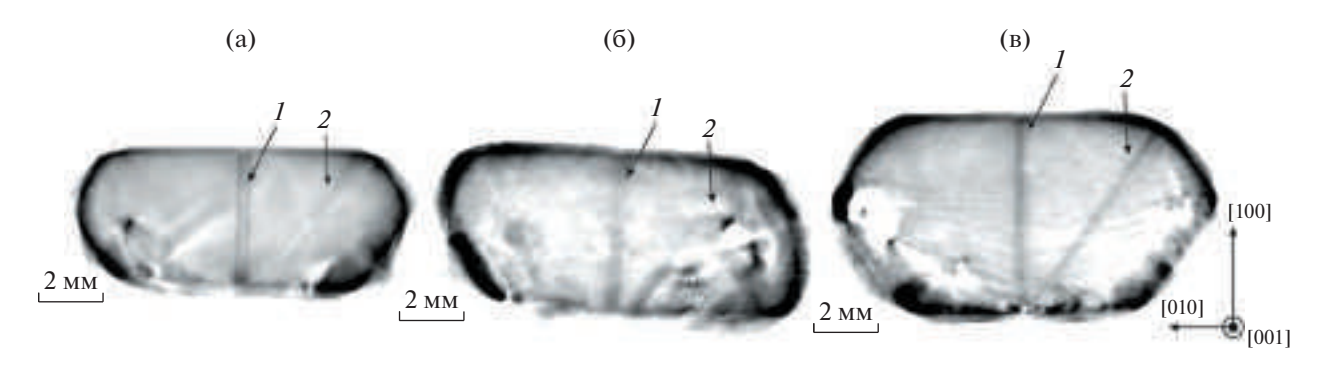


Рис. 6. Слои, параллельные плоскости кристалла $\{001\}$, взятые из реконструкций каждого образца: а — образец массой 2.48, б — 3.09, в — 4.69 карата. На каждом снимке хорошо видны два пучка дислокаций: первый принадлежит пирамиде роста $\{010\}$, второй — $\{111\}$.

включений. Средняя протяженность включений составила величину ~1.2—1.5 мм, средняя ширина и глубина залегания — 0.2—0.3 мм. Включения сконцентрированы вблизи ростовой грани {100}.

На рис. 6 для каждого из образцов показан слой реконструкции, перпендикулярный плоскости {100}, на этом слое отчетливо видны два пучка дислокаций: первый перпендикулярен плоскости $\{100\}$, а второй составляет с ней угол ~ 54° и перпендикулярен плоскости {111}. Анализ трехмерных реконструкций показывает, что оба пучка дислокаций были сформированы в области затравки. При этом первый пучок следует за продвижением грани {100} и выходит на ее поверхность, а второй выходит на поверхность грани {111}. Характерная толщина пучков — 150—200 мкм. Такая картина распределения дефектов оказалась характерной для всех исследуемых в работе образцов. Исходя из значений углов, можно предположить, что центральный пучок дислокаций находится в пирамиде роста (010), тогда как отклоняющийся пучок — в $\{111\}$. Похожие результаты были получены в [19, 20], где утверждалось, что наличие дислокационных пучков в образцах может быть связано с несовершенством кристалла, используемого в качестве затравки при выращивании. На рис. 6 хорошо видно, что оба пучка выходят из единого центра, в котором предположительно находился этот затравочный кристалл. При регенерации затравки происходит захват металлов из ростовой среды, что приводит к образованию включений. Эти включения также могут быть источником дислокаций [21].

ЗАКЛЮЧЕНИЕ

Впервые метод рентгеновской топо-томографии, реализованный на лабораторном источнике излучения, использовался для восстановления трехмерной структуры кристаллических дефектов в кубооктаэдрических кристаллах синтетиче-

ского алмаза, выращенных вблизи линии равновесия алмаз—графит.

Полученные трехмерные реконструкции позволили описать характер распределения и пространственную конфигурацию содержащихся в образцах включений и линейных дефектов. Анализ объемных изображений показывает, что в образцах присутствуют неоднородности и линейные дефекты. Линейные дефекты представляют собой дислокационные пучки, которые выходят из центра кристаллизации и расходятся в направлениях роста кристалла [100] и [111]. Протяженность первого пучка составила величину ~5 мм. второго -6 мм, толщина пучков -150-200 мкм. Присутствие этих дислокаций может быть связано как с наличием дефектов в кристаллической затравке, так и с присутствием в образцах металлических включений. Включения состоят из металлов Fe, Ni и Mn, источником которых является ростовая среда монокристалла. Они характеризуются протяженностью 1.2 - 1.5MMтолщиной 0.2-0.3 мм.

Работа выполнена в рамках Государственного задания ФНИЦ "Кристаллография и фотоника" РАН.

СПИСОК ЛИТЕРАТУРЫ

- Kasu M. // Prog. Cryst. Growth Charact. Mater. 2016.
 V. 62. P. 317.
- 2. D'Haenens-Johansson U.F.S., Butler J.E., Katrusha A.N. // Rev. Mineral. Geochem. 2022. V. 88. P. 689.
- 3. Akashi N., Fujimaki N., Shikata S. // Diam. Relat. Mater. 2020. V. 109. P. 108024.
- 4. *Боуэн Д.К., Таннер Б.К.* Высокоразрешающая рентгеновская дифрактометрия и топография / Пер. с англ. Шульпиной И.Л., Аргуновой Т.С. СПб.: Наука, 2002. 256 р.
- 5. *Black D.R., Long G.G.* X-ray topography. Gaithersburg: National Institute of Standards and Technology, 2004. 53 p.

- 6. *Authier A*. Dynamical theory of x-ray diffraction. 2-nd ed. Oxford University Press, 2004. 674 p.
- Shikata S., Miyajima K., Akashi N. // Diam. Relat. Mater. 2021. V. 118. P. 108502.
- 8. *Hornstra J.* // J. Phys. Chem. Solids. 1958. V. 5. № 1–2. P. 129.
- 9. *Ludwig W., Cloetens P., Härtwig J. et al.* // J. Appl. Cryst. 2001. V. 34. № 5. P. 602.
- 10. Золотов Д.А., Бузмаков А.В., Асадчиков В.Е. и др. // Кристаллография. 2011. Т. 56. № 3. С. 426.
- 11. *Золотов Д.А.*, *Бузмаков А.В.*, *Елфимов Д.А. и др. //* Кристаллография. 2017. Т. 62. № 1. С. 12.
- 12. Золотов Д.А., Асадчиков В.Е., Бузмаков А.В. и др. // Письма в ЖЭТФ. 2021. Т. 113. № 3. С. 161.
- 13. Lang A.R. // Acta Cryst. 1959. V. 2. P. 249.

- 14. Eaton-Magaña S., Shigley J.E., Breeding C.M. // Gems Gemol. 2017. V. 53. P. 262.
- Andersen A.H., Kak A.C. // Ultrason. Imag. 1984. V. 6. P. 81.
- Palenstijn W.J., Batenburg K.J., Sijbers J. // J. Struct. Biol. 2011. V. 176. P. 250.
- 17. Van Aarle W., Palenstijn W.J., De Beenhower J. et al. // Ultramicroscopy. 2015. V. 157. P. 35.
- 18. *Gonzales R.*, *Woods R.* Digital image processing. 4-th ed. Pearson education India, 2009. 1168 p.
- Sumiya H., Tamasaku K. // Jpn. J. Appl. Phys. 2012.
 V. 51, P. 090102.
- Sumiya H., Toda N., Satoh S. // SEI Tech. Rev. 2005.
 V. 60. P. 10.
- Moore M., Nailer S., Wierzchowski W. // Crystals. 2016.
 V. 6. P. 71.